

극배치 기법을 이용한 적응제어기에 관한 연구

○ 노 대 중 * 서 진 현 *

* 서울 대학교

Adaptive Controller Based on Pole/zero Assignment

Dae Jong Noh * Jin Heon Seo *

* Seoul National University

ABSTRACT

In this paper, an adaptive algorithm for processes with unmeasured deterministic disturbances is presented. This algorithm is simple to synthesize an adaptive controller with desired pole/zero assignment. The internal stability requirement is achieved so that this algorithm can easily handle any minimum or non-minimum phase system. Some simulations are given to show the applicability of this approach.

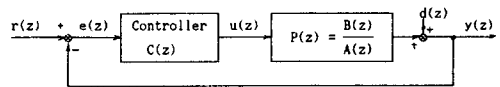


그림 1. 기본적인 폐루프 제어 시스템
Fig. 1. Basic single-loop feedback system

플랜트는 다음과 같이 나타낼 수 있다.

$$y(z) = \frac{B(z)}{A(z)}u(z) + d(z) \quad (1)$$

여기서 $\{y(\cdot)\}$, $\{u(\cdot)\}$ 는 각각 출력, 입력이고, $A(z)$ 와 $B(z)$ 는 다음과 같다.

$$A(z) = z^{n_a} + a_1 z^{n_a-1} + \dots + a_{n_a} \quad (2)$$

$$B(z) = b_0 z^{n_b} + b_1 z^{n_b-1} + \dots + b_{n_b} \quad (3)$$

그리고 $\{d(\cdot)\}$ 는 확정적 외란으로서 다음과 같은 선형 유한 차수 시스템으로부터 발생된다.

$$D(z)d(z) = 0 \quad (4)$$

여기서

$$D(z) = z^{n_d} + d_1 z^{n_d-1} + \dots + d_{n_d} \quad (5)$$

이때 시스템의 차수 상한값 n_a, n_b, n_d 를 안다고 가정한다.

이러한 시스템에서 폐루프 시스템의 극점과 영점을 적절히 배치하여 전체 시스템을 안정하게 하고 기준 입력과 출력과의 오차를 0 이 되도록 하는 문제를 생각한다.

1. 서론

근래에 적응 제어 기법에 관한 연구가 활발히 이루어져 왔으며, 그중에서도 자기 동조 제어기 (self tuning controller) 는 구현이 쉽고, 파라미터를 모르거나 시간 지연이 있는 경우, 또는 시변 시스템인 경우에도 적용할 수 있어 중요한 분야중의 하나이다. 자기 동조 제어 방식 중 극배치 제어기는 원하는 곳에 극점을 배치하는 제어방법으로서, 여러 형태의 극배치 알고리즘이 제시되었는데 이러한 알고리즘들은 대부분 Diophantine 방정식을 풀어야 하므로 계산시간이 길어지는 단점이 있다.

본 논문에서는 좀더 간단한 방법으로 극점과 영점을 배치하여, 확정적 외란 (deterministic disturbance) 이 있는 경우에도 출력 조정 (output regulation) 을 할 수 있는 알고리즘을 제시한다. 2 장에서는 본 논문의 기본원리를 설명하고, 3 장에서는 제어기를 유도하며, 4 장에서는 적응제어의 경우에 대해 서술하며, 5 장에서는 이 알고리즘의 효용성을 보이기 위해 시뮬레이션을 행한다.

2. 문제 설정 및 기본 원리

다음과 같이 확정적 외란이 존재하는 제어 시스템을 생각하자.

2.1 실현 가능성 (Realizability)

정의 <내부적 안정 (internally stable)> [4] : 그림 1 의

폐루프 시스템을 점근적 안정 (asymptotically stable) 하게 할 수 있는 제어기 $C(z)$ 를 찾을 수 있을때 감도 함수 $S(z)$ 는 내부적 안정이라고 한다.

보조정리 1 ^[4] : $S(z)$ 가 다음을 만족하면 $S(z)$ 는 내부적 안정이다.

- (1) $S(z)$ 가 단위원 밖에서 해석함수이다.
- (2) 단위원 밖에 있는 $A(z)$ 의 모든 영점은 $S(z)$ 의 영점이다.
- (3) 단위원 밖에 있는 $B(z)$ 의 모든 영점은 $1-S(z)$ 의 영점이다.

2.2 출력 조정 (Output regulation)

그림 1 의 시스템에서 출력 $y(z)$ 와 추종오차 $e(z)$ 를 구해보면 다음과 같다.

$$y(z) = (1-S(z))r(z) + S(z)d(z) \quad (6)$$

$$e(z) = S(z)(r(z) - d(z)) \quad (7)$$

여기서

$$S(z) = (1 + P(z)C(z))^{-1} \quad (8)$$

그리고 기준 입력은 다음과 같다.

$$r(z) = \frac{N(z)}{M(z)} \quad (9)$$

보조정리 2 ^[5] : 식 (1) 의 플랜트에서 다음의 조건이 만족되면 추종 오차가 0 이 된다.

- (1) $S(z)$ 가 점근적 안정이다.
- (2) 단위원 밖에 있는 $D(z)$ 와 $M(z)$ 의 모든 영점은 $S(z)$ 의 영점이다.

3. 극점/영점 배치 제어기

식 (1)의 플랜트에서 출력 조정이 되기 위하여는 보조정리 2 를 만족해야 하므로 $S(z)$ 는 다음과 같이 나타낼 수 있다.

$$S(z) = \frac{W(z)M_+(z)D(z)}{G(z)} \quad (10)$$

여기서 $G(z)$ 는 원하는 극점을 갖는 Hurwitz 다항식 이고 $W(z)$ 는 다음을 만족시키기 위한 monic 다항식이다. 플랜트 $P(z)$ 의 분모 $A(z)$ 와 분자 $B(z)$ 를 각각 다음과 같이 분리 하자.

$$A(z) = A_+(z)A_-(z) \quad (11)$$

$$B(z) = B_+(z)B_-(z) \quad (12)$$

여기서 $A_+(z)$ 와 $B_+(z)$ 는 모든 영점을 단위원 밖에서 갖고 $A_-(z)$ 와 $B_-(z)$ 는 모든 영점을 단위원 안에서 갖는다. 보조정리

1 의 (2)를 만족하려면 $S(z)$ 가 $A_+(z)$ 를 포함하여야 한다. 즉 $S(z)$ 는 다음과 같이 된다.

$$S(z) = \frac{W(z)M_+(z)D(z)}{G(z)} = \frac{L(z)A_+(z)M_+(z)D(z)}{G(z)} \quad (13)$$

식 (13)으로부터

$$1 - S(z) = \frac{G(z) - L(z)A_+(z)M_+(z)D(z)}{G(z)} \quad (14)$$

그런데 식 (14) 의 $1-S(z)$ 가 보조정리 1 의 (3)을 만족하려면 $1-S(z)$ 는 $B_+(z)$ 를 포함하므로 다음의 관계가 성립한다.

$$G(z) - L(z)A_+(z)M_+(z)D(z) = B_+(z)F(z) \quad (15)$$

$B(z)=0$ 의 근 ($B_+(z) = \prod_{i=1}^n (z - q_i)^{m_i}$) 을 식 (15) 에 대입하면 다음 식을 만족한다.

$$G(q_i) - L(q_i)A_+(q_i)M_+(q_i)D(q_i) = 0, \quad i=1, 2, \dots, n \quad (16)$$

여기서 n 은 $B_+(z)=0$ 의 서로 다른 근의 갯수 이고 $L(z)$ 는 다음과 같다.

$$L(z) = z^n + l_1 z^{n-1} + \dots + l_n \quad (17)$$

식 (16)을 정리하면 다음과 같이 된다.

$$L(q_i) = \frac{G(q_i)}{A_+(q_i)M_+(q_i)D(q_i)}, \quad i=1, 2, \dots, n \quad (18)$$

이때 $L(z)$ 는 다음의 선형 방정식을 풀어 얻을 수 있다.

$$\begin{bmatrix} q_1^{n-1} & \dots & q_1 & 1 \\ q_2^{n-1} & \dots & q_2 & 1 \\ \vdots & & \vdots & \vdots \\ q_n^{n-1} & \dots & q_n & 1 \end{bmatrix} \begin{bmatrix} l_1 \\ l_2 \\ \vdots \\ l_n \end{bmatrix} = \begin{bmatrix} \frac{G(q_1)}{A_+(q_1)M_+(q_1)D(q_1)} - q_1^n \\ \frac{G(q_2)}{A_+(q_2)M_+(q_2)D(q_2)} - q_2^n \\ \vdots \\ \frac{G(q_n)}{A_+(q_n)M_+(q_n)D(q_n)} - q_n^n \end{bmatrix} \quad (19)$$

$L(z)$ 가 구해지면 식 (15)에 의하여 $F(z)$ 도 구할 수 있다. 이렇게 구해진 $S(z)$ 는 보조정리 1,2 에 의해 내부적 안정이다. 따라서 식 (8) 을 이용하여 제어기 $C(z)$ 를 구하면 다음과 같다.

$$\begin{aligned} C(z) &= \frac{1-S(z)}{P(z)S(z)} \\ &= \frac{A(z)(G(z) - L(z)A_+(z)M_+(z)D(z))}{B(z)L(z)A_+(z)M_+(z)D(z)} \\ &= \frac{A_-(z)F(z)}{B_-(z)L(z)M_+(z)D(z)} \end{aligned} \quad (20)$$

식 (20)으로 주어진 제어기는 추종 오차가 0 으로 되며 Diophantine 방정식을 풀지 않고 간단한 선형 방정식을 풀어 얻어진다.

4. 적용제어에의 적용

4.1 계수 추정

플랜트 (1)을 후향 이동 연산자 (backward-shift operator) q^{-1} 를 사용하여 나타내면 다음과 같다.

$$A(q^{-1})y(t) = q^{-k}B(q^{-1})u(t) + \xi(t) \quad (21)$$

여기서

$$k = n_a - n_b \quad (22)$$

$$\xi(t) = A(q^{-1})d(t) \quad (23)$$

식 (4)의 관계를 이용하면 식 (21)은 다음과 같이 된다.

$$A(q^{-1})D(q^{-1})y(t) = q^{-k}B(q^{-1})D(q^{-1})u(t) \quad (24)$$

식 (24)를 다시 쓰면 다음과 같다.

$$y(t) = \phi^T(t-1)\theta_0 \quad (25)$$

여기서

$$\theta_0^T = [\alpha_1, \dots, \alpha_{n_a}, \beta_0, \dots, \beta_{n_b}] \quad (26)$$

$$\phi^T(t-1) = [y(t-1), \dots, y(t-n_a), u(t-k), \dots, u(t-k-n_b)] \quad (27)$$

$$n_a = n_a + n_d \quad (28)$$

$$n_b = n_b + n_d \quad (29)$$

식 (25)의 계수 추정에는 다음과 같은 순환 최소 자승법 (RLS) 을 사용한다.

$$\hat{\theta}(t) = \hat{\theta}(t-1) + \frac{P(t-2)\phi(t-1)\epsilon(t)}{\lambda + \phi^T(t-1)P(t-2)\phi(t-1)} \quad (30)$$

$$P(t-1) = \frac{1}{\lambda} \left[P(t-2) - \frac{P(t-2)\phi(t-1)\phi^T(t-1)P(t-2)}{\lambda + \phi^T(t-1)P(t-2)\phi(t-1)} \right] \quad (31)$$

$$\epsilon(t) = y(t) - \phi(t-1)\hat{\theta}(t-1) \quad (32)$$

RLS 에 의해 AD 와 BD 가 추정되면 $\hat{A}(q^{-1})$ 와 $\hat{B}(q^{-1}), \hat{D}(q^{-1})$ 는 다음 방법으로 분리할 수 있다.

$A(q^{-1})$ 와 $B(q^{-1}), D(q^{-1})$ 의 분리

$\bar{A} = AD, \bar{B} = BD$ 라 놓으면 다음의 식이 성립된다.

$$BAD = \bar{B}A = \bar{B}\bar{A} \quad (33)$$

따라서 다음식을 만족한다.

$$A(q^{-1})\bar{B}(q^{-1}) - B(q^{-1})\bar{A}(q^{-1}) = 0 \quad (34)$$

식 (34)에 $A(0)=1$ 의 관계를 적용하면 다음과 같이 된다.

$$[A(q^{-1})-1]\bar{B}(q^{-1}) + B(q^{-1})[-\bar{A}(q^{-1})] = -\bar{B}(q^{-1}) \quad (35)$$

식 (35)는 미지수가 식의 수보다 적은 연립 방정식이므로 외사 좌측 역행렬 (pseudo left inverse) 을 사용하여 풀면 $A(q^{-1})$ 와 $B(q^{-1})$ 를 구할 수 있다. 그리고 다음식에서 $D(q^{-1})$ 를 같은 방법으로 구할 수 있다.

$$D(q^{-1})A(q^{-1}) = \bar{A}(q^{-1}) \quad (36)$$

$$D(q^{-1})B(q^{-1}) = \bar{B}(q^{-1}) \quad (37)$$

4.2 적용 제어기의 구성

3장의 결과를 적용 제어의 형태로 구현한 알고리즘은 다음과 같다.

알고리즘

1) 4.1 절의 계수 추정 방법에 의해 $\hat{A}(z), \hat{B}(z), \hat{D}(z)$ 를 추정 한 뒤, $\hat{A}(z) = \hat{A}_+(z)\hat{A}_-(z), \hat{B}(z) = \hat{B}_+(z)\hat{B}_-(z)$ 로 분리한다.

2) 다음 식으로부터 $L(z)$ 를 구한다.

$$G(q_i) - L(q_i)\hat{A}_+(q_i)M_+(q_i)\hat{D}(q_i) = \hat{B}_+(q_i)F(q_i), \quad (38)$$

$i=1, 2, \dots, n$

여기서 $n = \text{deg}(\hat{B}_+)$.

3) 다음 식으로부터 제어법칙 $C(z)$ 를 구한다.

$$C(z) = \frac{\hat{A}_-(z)F(z)}{\hat{B}_-(z)L(z)M_+(z)\hat{D}(z)} \quad (39)$$

매 샘플링마다 1) - 3) 까지를 반복하면 $\hat{A}(z), \hat{B}(z), \hat{D}(z)$ 가 $A(z), B(z), D(z)$ 로 수렴함에 따라 원하는 극점, 영점이 배치된 시스템을 얻을 수 있게 된다.

그런데 일반적으로 적용 제어에 있어서 페루우프에 고주파의 신호가 있을 경우 이 고주파 성분이 모형화되지 않은 운동 (unmodelled dynamics) 을 여기시키게 되면 파라미터 추정치에 오차가 발생할 수 있다. 이 경우 적용 제어기의 제어 성능이 나빠지게 되므로 페루우프에서 고주파 신호를 제거해 주는 것이 바람직하다. 이러한 문제를 해결하는 하나의 방법으로 제어기의 분자인 $C_n(z)$ 를 분리하여 전항 경로에는 직류성분만을 남겨

고주파 신호가 페루우프로 전달 되는 것을 막아주는 방식을 사용할 수 있으며 이 경우 제어 법칙은 다음과 같이 변형된다.

$$C_d(z)u(z) = -\bar{C}_n(z)y(z) + g_o(r(z) - y(z)) \quad (40)$$

여기서

$$C(z) = \frac{C_n(z)}{C_d(z)} \quad (41)$$

$$g_o = C_n(1) \quad (42)$$

$$\bar{C}_n(z) = C_n(z) - g_o \quad (43)$$

이렇게 변형하여도 정상 상태 오차와 페루프 시스템의 극점은 변하지 않으며 모형화 되지 않은 운동 (unmodelled dynamics) 이 존재하는 경우에도 계수 추정이 안정화 된다. 이를 포함하는 제어 시스템을 나타내면 그림 2 와 같다.

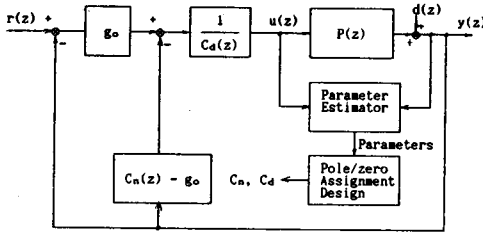


그림 2. 적응제어기의 구현
Fig. 2. Implementation of adaptive controller

5. 시뮬레이션 및 검토

제안된 제어기의 타당성을 보이기 위하여 두가지의 예를 보인다. 여기에 사용된 외란은 다음과 같은 정현파이다.

$$d(t) = g \sin(2\pi t/T_d) \quad (44)$$

여기서 T_d 는 정현파의 주기를 샘플 수로 나타낸 것이다. 이러한 정현파는 2차로 모형화할 수 있다. 즉 다음과 같이 쓸 수 있다.

$$D(z) = z^2 + d_1z + d_2 \quad (45)$$

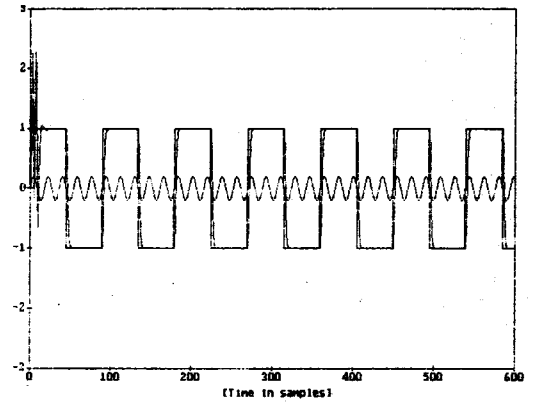
예 1.

다음과 같은 시스템을 생각 하자.

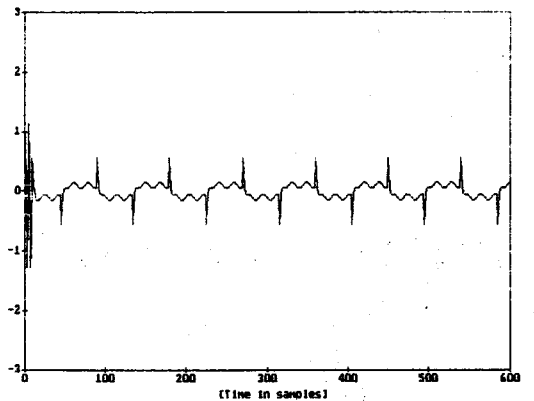
$$P(z) = \frac{z+1.1}{z(z-1.2)} \quad (46)$$

여기에 외란은 주기가 18 샘플이고 진폭은 0.2 인 정현파이다. 그리고 제어기는 8 샘플마다 계산되도록 하였다. 전체 시스템의 극점은 모두 0.2 에 두도록 하였고 계단과를 잘 추적하기 위해서

감도함수 $S(z)$ 의 영점을 1 에 두었다. 결과는 그림 3에 나타내었다. 그림 3을 보면 불안정한 시스템임에도 불구하고 안정된 출력을 보임을 알 수 있다.



a) 기준입력, 출력, 외란



b) 제어입력

그림 3. 예 1. 에서의 출력 y 와 제어입력 u 의 시뮬레이션 결과
Fig. 3. Results of output y and control input u of Ex. 1.

예 2. (모형화 되지않은 운동이 존재하는 경우)

다음과 같은 시스템을 생각하자.^[9]

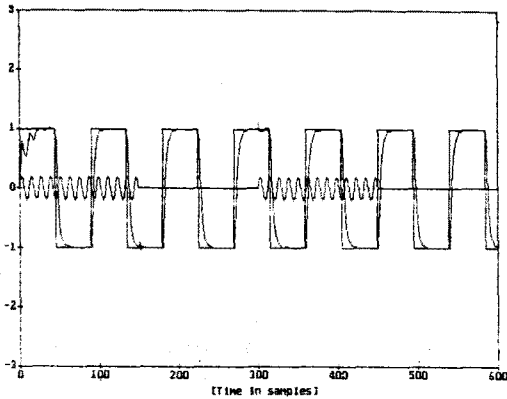
$$P(s) = \frac{2}{(s+1)(s^2+30s+229)} \quad (47)$$

샘플링 주기를 0.4 초로 하면 다음과 같이 된다.

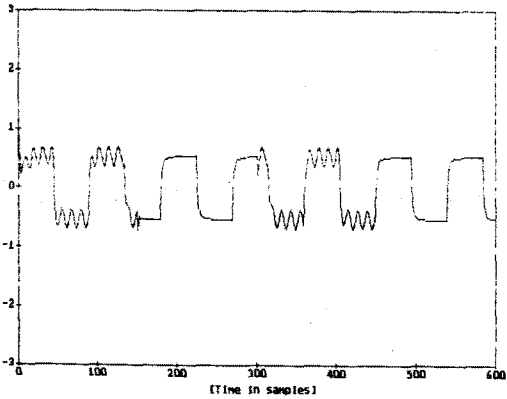
$$P(z) = \frac{0.629z^2 + 0.02812z + 0.0001204}{z^3 - 0.6734z^2 + 0.02274z + 0.000004107} \quad (48)$$

이 시스템을 1 차로 추정하고 여기에 주기가 12 인 정현파가 150 샘플마다 존재하다 사라지는 외란을 인가 하였다. 극점과 영점의 배치는 예 1 과 같이 하였다. 결과를 그림 4 에 나타내었다. 그림

4를 보면 모형화 되지 않은 운동이 존재하여도 제어가 잘 이루어지고 있음을 알 수 있다.



a) 기준 입력, 출력, 외란



b) 제어 입력

그림 4. 예 2. 에서의 출력 y 와 제어 입력 u 의 시뮬레이션 결과
Fig. 4. Results of output y and control input u of Ex. 2.

6. 결론

본 논문에서는 확정적 외란이 있는 경우에 있어서 기존의 방법보다 간단히 구현할 수 있는 적응 극점/영점 배치 알고리즘을 제시하였다. 이 알고리즘은 Diophantine 방정식을 풀지 않아 계산이 간단하며 내부적 안정도 (internal stability) 가 보장 되고 외란도 효과적으로 제거된다. 또한 모형화되지 않은 운동이 존재하는 경우에도 페루우프에서 고주파를 제거하는 방법을 도입하여 계수 추정의 신뢰도를 향상시켰다.

추후 연구과제로는 현재 고려되지 않은 시간 지연 시스템에 본 알고리즘을 적용하는 연구와 다변수 시스템에로의 확장에 관한 연구가 진행되어야 할 것이다.

7. 참고 문헌

- [1] Clarke, D.W. and Gawthrop, P.J., "Self-tuning controller", *Proc. IEE*, pp.929-934, 1975
- [2] Clarke, D.W. and Gawthrop, P.J., "Self-tuning control", *Proc. IEE*, pp.633-640, 1979
- [3] Aström, K.J. and Wittenmark, B., "Self-tuning controllers based on pole-zero placement", *Proc. IEE*, pp.120-130, 1980
- [4] Youla, D.C., Bongiorno, J.J. and Jabr, H.A., "Modern Wiener-Hopf design of optimal controllers - part I: The single-input-output case", *IEEE Trans. Automat. Contr.*, vol. AC-21, pp.3-13, 1976
- [5] Safonov, M.G. and Chen, B.S., "Multivariable stability-margin optimization with decoupling and output regulation", *Proc. IEE*, pp.276-282, 1982
- [6] Aström, K.J. and Wittenmark, B., *Computer controlled systems: Theory and design*, Prentice-Hall Inc., 1984
- [7] Goodwin, G.C. and Sin, K.S., *Adaptive filtering prediction and control*, Prentice-Hall Inc., 1984
- [8] Lin, C.H. and Chen, B.S., "Adaptive controller with desired pole/zero assignment", *Proc. IEE*, pp.301-306, 1986
- [9] Palaniswami, M. and Goodwin, G.C., "An adaptive implementation of the internal model principle", *ACC*, pp.600-605, 1987